

# 退火条件对 $\beta\text{-FeSi}_2$ 形成的影响\*

陈向东 王连卫 林 贤 林成鲁 邹世昌

(中国科学院上海冶金研究所信息功能国家重点实验室 上海 200050)

**摘要** 本文采用反应沉积-固相外延法制备  $\beta\text{-FeSi}_2$  薄膜, 不同温度及持续时间的后退火处理的 X 射线衍射分析表明降低衬底温度, 延长退火时间可以提高样品晶体质量。利用卢瑟福背散射方法研究了  $\beta\text{-FeSi}_2$  的形成过程中的 Si 的扩散, 探讨了退火形成  $\beta\text{-FeSi}_2$  的形成机制。

**PACC:** 6855, 6490

## 1 引言

$\beta\text{-FeSi}_2$  作为一种新型的光电子材料, 在常温下有 0.85eV 的直接带隙, 有希望用来制作近红外光 6 元探测器, 并且它与成熟的硅器件工艺相容, 因此吸引了越来越多研究工作者的兴趣<sup>[1]</sup>。固相外延法(SPE: Solid Phase Epitaxial)<sup>[2]</sup>是最早使用的制备  $\beta\text{-FeSi}_2$  的方法, 它是先在室温下在硅表面沉积一层铁薄膜, 然后在一定温度下退火, 通过铁, 硅在界面的相互扩散, 实现固相反应, 形成铁硅化物。SPE 方法制备的  $\beta\text{-FeSi}_2$  晶粒小, 晶体质量差。反应沉积外延(RDE: Reactive Deposition Epitaxial)<sup>[3]</sup>, 则是直接将铁沉积到热的硅衬底上而形成  $\beta\text{-FeSi}_2$ 。用这一方法  $\beta\text{-FeSi}_2$  的晶体质量有所提高, 但其所能达到的厚度受铁的沉积速率及硅扩散的限制, 且表面形貌较差。本文采用的方法介于两者之间, 不妨称它为反应沉积-固相外延法, 首先把铁沉积到热的硅衬底上, 即先在硅衬底上生长一层富铁的铁硅化物薄膜, 再经退火形成  $\beta\text{-FeSi}_2$ 。这里我们选择衬底温度为 550°C, 调整不同退火条件, 以期获得较好质量的  $\beta\text{-FeSi}_2$  薄膜。 $\beta\text{-FeSi}_2$  在 Si(100) 上外延生长具有两种取向关系<sup>[4]</sup>: A 取向,  $\beta\text{-FeSi}_2(100) \parallel \text{Si}(001)$ , 取向关系为  $\beta\text{-FeSi}_2(010) \parallel \text{Si}(110)$ ; B 取向,  $\beta\text{-FeSi}_2(001) \parallel \text{Si}(001)$ , 取向关系为  $\beta\text{-FeSi}_2(010) \parallel \text{Si}(001)$ 。因为存在两种取向关系, 外延生长的  $\beta\text{-FeSi}_2$  的薄膜往往是多晶, 晶体中存在很多缺陷。

\* 本课题得到上海市重大自然科学基金资助

陈向东 男, 1972 年生, 中国科学院上海冶金研究所半导体物理与半导体器件物理专业 94 级研究生

王连卫 男, 1965 年生, 中国科学院上海冶金研究所半导体物理与半导体器件物理专业博士

林成鲁 男, 1943 年生, 博士生导师, 从事半导体物理与半导体器件物理研究

1994 年 4 月 17 日收到初稿, 1994 年 7 月 29 日收到修改稿

## 2 实验

$n < 100$  ( $5-8 \Omega \cdot \text{cm}$ ) 硅片经标准 1C 工艺清洗后, 放入 UMP500p 型超高真空镀膜仪中, 采用电子束蒸发沉积高纯度铁, 铁蒸发前真空度为  $\sim 10^{-10} \text{ mbar}$ , 蒸发时为  $\sim 10^{-9} \text{ mbar}$ , 衬底温度为  $550^\circ\text{C}$ , 铁的沉积速率为  $0.4 \text{ nm/s}$ , 沉积厚度为  $100 \text{ nm}$ , 厚度和速率由石英监测仪测量, 速率由四极质谱仪控制.

样品后退火, 取以下两个条件: (1) 在国产 KST-2 型卤钨灯快速退火炉中 10 分钟退火, 退火温度为  $600^\circ\text{C}, 700^\circ\text{C}, 800^\circ\text{C}$ , 氮气保护, 气流量为 1 升/分. (2) 在 HTA-I 型退火炉中退火两个小时, 退火温度为  $600^\circ\text{C}, 700^\circ\text{C}, 800^\circ\text{C}$ , 氮气保护, 气流量 2.5 升/分.

X 射线衍射谱(XRD; X-Ray Diffraction), 卢瑟福背散射谱(Rutherford Backscattering Spectrometry)用于分析铁硅化物的组分、结构以及晶体质量. XRD 采用  $\text{CuK}\alpha$  谱线( $\lambda = 0.154 \text{ nm}$ ), RBS 采用  $2 \text{ MeV He}^+$ , 散射角为  $165^\circ$ .

## 3 结果与讨论

如图 1XRD 谱所示, 未退火薄膜的主要成分为  $\text{Fe}_3\text{Si}$  和  $\text{FeSi}$ , 在  $600^\circ\text{C}$  下退火 10 分钟主要相是  $\text{FeSi}$ ,  $700^\circ\text{C}$  下退火 10 分钟, 主要相变为  $\beta\text{-FeSi}_2$ , 从织构上看, 这时晶体质量比  $800^\circ\text{C}$  下退火 10 分钟获得的样品好. 图 2 是在不同温度 2 小时退火处理后样品的 XRD 谱, 可以看

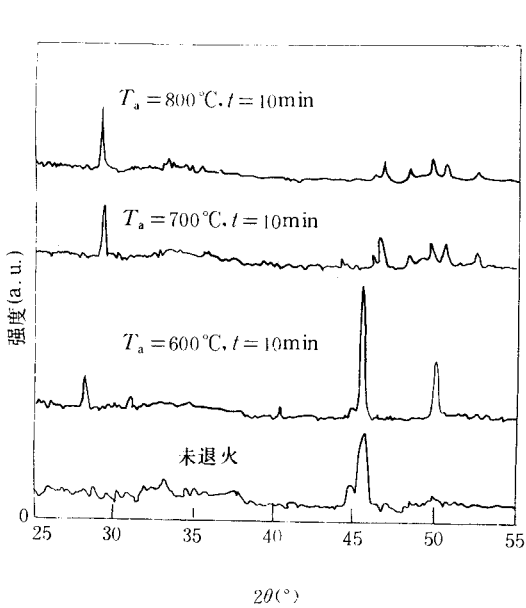


图 1 退火前后不同温度下快速退火

10 分钟后样品的 X-射线衍射谱

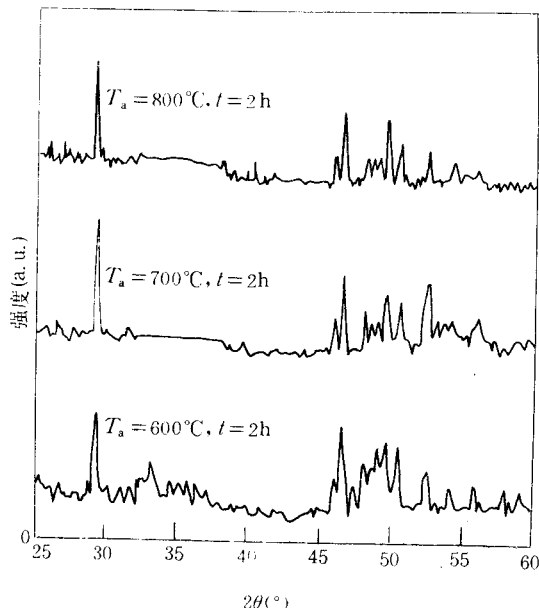


图 2 不同温度下退火 2 小时后

样品的 X-射线衍射谱

出,退火温度为 600℃时, $\text{Fe}_3\text{Si}$  就与 Si 完全反应生成  $\beta\text{-FeSi}_2$ ,且这时  $(040)_{\beta}$  峰强度较大,因为如果样品是完全的多晶,则  $(220)_{\beta}$  与  $(040)_{\beta}$  峰强比为 10:4,而实际测得为 10:9,说明在外延生长  $\beta\text{-FeSi}_2$  时,B 取向已具有选择性,样品组织性较好<sup>[5]</sup>. 700℃下退火 2 小时生成的  $\beta\text{-FeSi}_2$  质量比 600℃退火 2 小时得到的样品质量差,但比相同温度下退火 10 分钟的样品质量好.因此降低退火温度,延长退火时间,对提高晶体质量是有好处的.退火的作用在于两方面:一是实现铁硅的固相反应.二是消除晶格缺陷.因此降低反应温度,从而降低反应速度,可以在反应生  $\beta\text{-FeSi}_2$  中有足够的时间消除晶格缺陷,以提高晶体质量.另外温度较低情况下,可通过延长退火时间实现铁,硅完全固相反应.

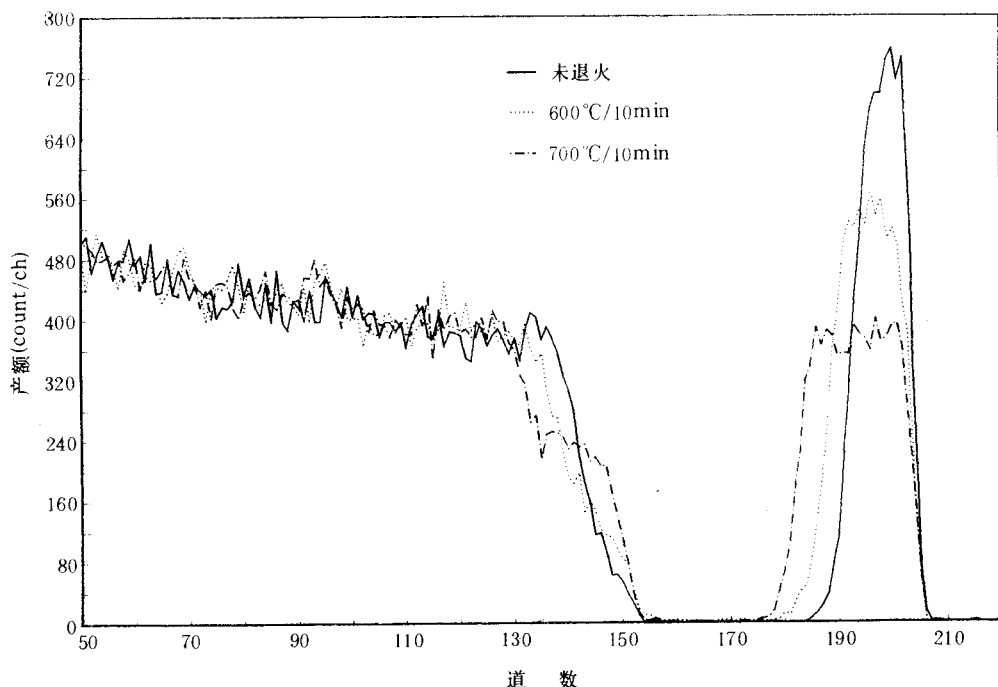


图 3 样品退火前和 600℃ 及 700℃ 快速退火 10 分钟后 RBS 随机谱

由图 3 可以看出,随着反应温度的提高,铁硅化物的厚度逐渐增强,薄膜中硅的相对含量逐渐增加,铁的相对含量减少.退火温度为 700℃时,硅能谱出现明显的台阶,说明  $\beta\text{-FeSi}_2$  层和硅衬底有一个明显的界面,且硅原子在薄膜中的浓度保持不变.考虑一份完整的  $\beta\text{-FeSi}_2$  的体积比一份硅加  $\text{FeSi}$  的体积小,所以形成的  $\beta\text{-FeSi}_2$  层中必然存在空位,衬底中的硅可通过空位扩散,到  $\beta\text{-FeSi}_2$  表面层继续反应.只要退火温度足以让硅原子不在空位上稳定下来,若有足够长的时间,硅原子就能通过扩散到达表面,实现固相反应生成  $\beta\text{-FeSi}_2$ . 到目前为止,尚无 RDE 及 SPE 方法制备  $\beta\text{-FeSi}_2$  的 RBS 沟道谱的报道.说明沉积条件和退火条件都有待进一步改善.

## 4 结论

本文采用反应沉积-固相外延新方法制备  $\beta\text{-FeSi}_2$  薄膜. 后退火处理表明降低衬底温度,

延长退火时间可以提高样品晶体质量。 $\beta$ -FeSi<sub>2</sub>的形成过程以Si的扩散通过空位扩散透过已形成的 $\beta$ -FeSi<sub>2</sub>层在表面实现固相反应而完成。

### 参 考 文 献

- [1] J. Derrien, J. Chevrier, X. Le *et al.*, Appl. Surf. Sci. 1993, **70/71**: 546.
- [2] J. Chevrier, V. Le Thanh, S. Nitsche *et al.*, Appl. Surf. Sci., 1992, **56—58**: 438.
- [3] J. Alvarze, J. J. Hinarcjos, E. G. Michel *et al.*, Appl. Phys. Lett., 1991, **59**: 99.
- [4] K. Onuma, Jvrijmoeth, P. M. Zagwin *et al.*, J. Appl. Phys., 1993, **73**: 3.
- [5] K. Lefki, P. Muret, E. Bustarret *et al.*, Solid Stat. Commun., 1991, **80**: 791.

## Influence of Annealing on Formation of $\beta$ -FeSi<sub>2</sub>

Chen Xiangdong, Wang Lianwei, Lin Xian, Lin Chenglu and Zou Shichang

(State Key Laboratory of Functional Materials for Informatics, Shanghai Institute  
of Metallurgy, The Chinese Academy of Sciences, Shanghai 200050)

Received 17 April 1994, revised manuscript received 29 July 1994

**Abstract**  $\beta$ -FeSi<sub>2</sub> thin film was prepared by means of Reactive Deposition-Solid Phase Epitaxy. X-ray Diffraction analysis shows that relatively lower temperature and long duration post-annealing process can improve the film quality. Si diffusion in  $\beta$ -FeSi<sub>2</sub> is investigated by Rutherford Backscattering Spectrometry, and the mechanism of  $\beta$ -FeSi<sub>2</sub> formation is discussed.

**PACC:** 6855, 6490